

دوفصلنامه هیدروفیزیک

دوره پنجم، شماره اول (بهار و تابستان ۱۳۹۸)

مقاله پژوهشی

مدل‌سازی سرعت جریان جزرومده با استفاده از نرم‌افزار TELEMAC-2D (مطالعه موردنی: خلیج بوشهر)

محمد اکبری نسب^{۱*}، معصومه رسولیان^۲، نادیا طالب پور^۳، علی ناصری^۴

m.akbarinasab@umz.ac.ir

^۱*نویسنده مسئول، استادیار، دانشکده علوم دریایی، دانشگاه مازندران، بابلسر

masoomehrasoolian@gmail.com

^۲دانشکده علوم دریایی، دانشگاه مازندران، بابلسر

talebpoor.nadia@gmail.com

^۳دانشکده علوم دریایی، دانشگاه مازندران، بابلسر

ali.s.naseri@gmail.com

^۴مریبی، سازمان بنادر و دریانوردی، تهران

تاریخ پذیرش: ۹۸/۰۶/۱۲

تاریخ دریافت: ۹۸/۰۱/۳۱

چکیده

جزرومد از اطلاعات پایه و ضروری در انجام مطالعات مربوط به رسوب گذاری، تغییرات مورفولوژیک و آب گرفتگی سواحل، فرسایش و مدیریت نوار ساحلی محسوب می‌شود. به دلیل کمبود اطلاعات اندازه گیری در بسیاری از مناطق ساحلی و دریایی، خصوصیات موج با استفاده از روش‌های مختلف تخمین زده می‌شود. پروژه‌های دریایی پیش‌بینی / پیش‌بایی اقلیم موج اغلب با مدل‌های عددی یا روش‌های تجربی انجام می‌شود. در پژوهش پیش رو سرعت جریان جزرومده در خلیج بوشهر با استفاده از مدل عددی TELEMAC-2D مدل‌سازی شد و جهت جریان غالب در منطقه مورد تحلیل واقع شد. تنظیمات مدل شامل شبکه‌بندی نامنظم مثلثاتی در راستای x و y با نسبت یک به سه از کوچک‌ترین شبکه‌بندی ۳۰ متر تا بزرگ‌ترین شبکه‌بندی ۸۱۰ متر، گام زمانی ۳۰ ثانیه، قانون اصطکاک بستر با استفاده از نظریه استریکلریا مقدار $50 \text{ m}^{1/2} \text{s}^{-1}$ به کار رفته شد. مدل برای یک ماه از تاریخ ۲۰۱۱/۰۷/۱۲ در خلیج بوشهر اجرا شد. پس از اجرای مدل داده‌های اندازه سرعت جریان با داده‌های اندازه گیری متناظر و پایگاه داده جهانی TPXO مقایسه شد، نتایج پژوهش بیانگر افزایش همبستگی از ۴۱/۸۶ درصد به ۹۱/۴۱ درصد بود که حاکی از مناسب بودن مدل برای مدل‌سازی اندازه سرعت جریان در خلیج بوشهر بود. در انتها جریان غالب در منطقه شمال غربی نشان داده شد.

واژه‌های کلیدی: سطح تراز، سرعت جریان جزرومده، شبیه‌سازی عددی، TELEMAC، خلیج بوشهر

پایداری دهانه رودخانه‌ها و کانال‌های کشتیرانی، صیادی و تغییرات خط ساحلی نیازمند تعیین سطح تراز آب دریا و جریان‌های دریایی از جمله بررسی‌های دقیق جزرومده بهویژه در مناطقی که جریان‌های جزرومده نقش به سزایی

۱. مقدمه

اکتشاف، بهره‌برداری و استخراج منابع نفت و گاز در دریاهای ناوی، شیلات، حفاظت از محیط‌زیست دریایی، همچنین ساخت سازه‌های ساحلی و دیگر پروژه‌های مهندسی از جمله

انتها نتایج را با هم مقایسه کردند. نتایج نشان داد مدل عددی به کار برده شده به خوبی قادر به محاسبه رژیم جزرومدمی است [۷]. در سال ۱۳۹۳ به بررسی تأثیر جزرومدم در محل اتصال یک خلیج کوچک به دریای آزاد بر الگوی جریان و انتقال رسوب با استفاده از مدل عددی مایک ۲۱ پرداخته شد. این شبیه‌سازی در مقادیر مختلف دامنه جزرومدمی موردنرسی قرار گرفت. نتیجه این تحقیق ایجاد جریان‌های گردابی در حالت تبدیل از جزر به مد و برعکس بود که عملکرد این جریان‌های گردابی در حضور جریان‌های مدی و جریان‌های جزري، باعث ایجاد کم عمقی‌هایی در بالادست و پایین‌دست مصب گشت و نشان داده شد که شاعع گردابه‌های جزرومدمی و عرض محدوده رسوب گذاری در طرفین دهانه، با دامنه جزرومدم رابطه مستقیم دارند [۸]. جو کار و همکاران در سال ۱۳۹۵ در تحقیقی به بررسی جریان‌های کشنده با استفاده از مدل مایک ۲۱، اندازه‌گیری میدانی و مدل جهانی FES در خلیج فارس پرداختند. جریان‌های کشنده با استفاده از مدل FM نرم‌افزار مایک ۲۱ با ساختار مش نامنظم و با در نظر گرفتن نیروهای نجومی جریان‌های کشنده در این مطالعه شبیه‌سازی شد و با نتایج اندازه‌گیری ایستگاه‌ها صحت‌سنجی شدند. در این تحقیق نتایج حاکی از دقت کمتر مدل FES برای نوار ساحلی، اختلاف کمتر مؤلفه‌های مدل جهانی FES با اندازه‌گیری میدانی در آب‌های عمیق و تطابق خوب بین مدل مایک و ایستگاه‌های کشنده‌سنجی در خلیج فارس بود و مشاهده شد که جریانات تغییرات سطوح جزرومدمی شبیه‌سازی شده از مدل، همگرایی قابل قبولی با نتایج موجود از برداشت‌های میدانی داشت [۹]. پژوهشگران در یک مدل غیرخطی فشارگرای را برای خلیج فارس طراحی کردند. این مدل مبتنی بر انگرال‌گیری از معادله‌های آب کم عمق در راستای عمق بود و نسبت به چرخش زمین و اثرات پستی و بلندی بستری حساس بود. در این مدل از شکل واقعی خلیج فارس به منظور حل عددی معادله‌های مدل با استفاده از روش تفاضل متناهی استفاده شد. این مدل برای تعیین عکس العمل خلیج فارس نسبت به باد و نیروی کشنده با استفاده از شبیه‌سازی عددی استفاده شد. نتایج این شبیه‌سازی به شکل چرخش آب‌ها در خلیج فارس و

را در انتقال رسوب ایفا می‌کنند، است. در این راستا و به این دلیل که تمامی سواحل جنوبی کشور تحت تأثیر جریان‌های ناشی از جزرومدم بوده و ازلحاظ اقتصادی و بازرگانی اهمیت زیادی دارد، مطالعات اساسی و دقیق در بررسی، شناخت و پیش‌بینی این جریان‌ها ضروری است [۲-۱].

یکی از ویژگی‌های مهم جریان‌های جزرومدمی گستردگی آن‌هاست که در مقیاس افقی به دهها و صدها کیلومتر می‌رسد که در مسائل ناوبری اهمیت زیادی دارد [۳]. امروزه در مناطق مختلف دنیا از مدل‌های عددی برای بررسی و پیش‌بینی جریان‌ها و امواج استفاده می‌شود. دلیل این امر قابلیت تغییر در ضرایب و بهبودی کاربری فراسنج‌های موجود در معادله‌های مدل است که می‌توان به این وسیله با آزمایش و فراسنجی این ضرایب و استفاده از داده‌های اندازه‌گیری شده، نتایج را تا دقتهای بسیار بالایی به واقعیت نزدیک کرد [۴-۵].

مطالعات متعددی در این حوزه با نرم‌افزارهای محاسباتی متفاوتی صورت گرفته است. آزموده اردن و طوریان در پژوهش خود تغییرات جزرومدمی سطح آب دریای عمان و خلیج فارس را با استفاده از ۱۱ سال داده‌های ماهواره توپکس پوزایدون^۱ و اطلاعات تاید گیج‌های ساحلی با به کار گیری روش آنالیز فوریه و برآورد کمترین مربعات مؤلفه‌های جزرومدمی در پریود بزرگ‌تر از چهار ساعت مدل‌سازی کردند. سپس سطح متوسط آب دریا، نقشه‌های دامنه و هم فاز مؤلفه‌های جزرومدمی برای چهار مؤلفه، O₂, K₂, M₂, S₂ تعیین نمودند. نتایج نشان داده روش به کار برده شده به خوبی قادر است جریان‌های جزرومدم منطقه‌ای را مدل‌سازی کند [۶]. ریبعی فر و باقری در سال ۱۳۹۱ در تحقیق خود با استفاده از اطلاعات تراز سطح آب در بندر شهید رجائی به مدت ۲۲ ماه در سال ۲۰۰۷ میلادی مدلی عددی را تهیه نمودند که با آن می‌توان رژیم جزرومدم در مناطق دلخواه از آب‌های دریا را تشخیص داد. همچنین در مطالعه خود با استفاده از نرم‌افزار مایک ۲۱ به آنالیز هارمونیک (روش رگرسیون خطی) دامنه‌های اصلی جزرومدم پرداختند و در

جزرومدم نرمال و جزرومدم طوفانی بود. در این تحقیق سطح آب و خروجی، ورودی و خروجی در طول دوره سپتامبر و رویداد طوفان در ماه دسامبر به خوبی تولید شدند، نتایج عددی توافق خوبی با داده‌های اندازه‌گیری شده داشت که نشان‌دهنده پتانسیل مدل برای شبیه‌سازی این نوع جریان‌های آب برای یک چرخه طبیعی جزرومدم بهار برای موج‌های طوفان بود [۱۴]. در تحقیقی نیروی باد و جزرومدمی در جریان‌های طبقه‌بندی شده در فلات گرینلنڈ با TELEMAC-3D که یک مدل مناسب برای شبیه‌سازی این پویایی بود، بررسی شد. در تجزیه و تحلیل جزرومدم نشان داده شد که قدرت و جهت جریان‌های جزرومدمی از هر نوع تغییر در عرض و شکل دامنه حساس است و اثر انتشار جزرومدمی روی پروفایل شوری نقش مهمی دارد و شوری آن طی ۵ تا ۶ ساعت پس از سیل‌های ناشی از انفجار و انهدام در امتداد باد، بر گردش فلات قرار دارد [۱۵]. هاورسون و همکاران در تحقیقی تأثیر انباستگی انرژی استخراج شده حاصل از امواج جزرومدم در هشت ناحیه از دریای ایرلند را با استفاده از نرم‌افزار TELEMAC موردنرسی قرار دادند، نتایج نشان داد که در داخل دریای ایرلند، تعداد بسیار کمی از پروژه‌های جزرومدمی که از نظر جغرافیایی موردمطالعه قرار گرفته شد، نزدیک به یکدیگر بودند که نشان‌دهنده تعامل محدود بین آن‌ها بود [۱۶].

با توجه به اهمیت اقتصادی و بازرگانی زیاد آب‌های آزاد و نیازهای مهندسی همچون ساخت اسکله، موج‌شکن‌ها، سکوهای نفتی و شیلات، اطلاع از رژیم جزرومدمی و به‌طور کلی جریانات جزرومدمی اهمیت زیادی دارد. در کشور ما نیز با توجه به قرار داشتن در گروه کشورهای با مرز آبی متصل به آب‌های آزاد، تحقیقات جزرومدمی در بهره‌برداری بهتر و گسترش‌تر از منابع و امکانات دریایی از ضروریات محسوب می‌شود. تاکنون در کشور ما برای بررسی جریان‌های جزرومدمی با استفاده از مدل هیدرودینامیکی TELEMAC، کاری انجام نشده؛ از این‌رو در طرح پیش‌رو از مأذول دوی بعدی مدل هیدرودینامیکی TELEMAC برای مدل‌سازی جریان‌های جزرومدمی در

همچنین نوسانات سطح تراز آب دریا نشان داده شد. پس از انجام شبیه‌سازی مقایسه‌ای بین اندازه‌گیری‌های نوسانات سطح تراز آب دریا در ایستگاه‌های بوشهر و کنگان با مقادیر پیش‌بینی شده با مدل به عمل آمد. این مقایسه توافق قابل قبولی را بین دیده‌بانی و مقادیر پیش‌بینی شده با مدل نشان داد. همچنین در این مدل اثرات جمله‌های غیرخطی فرارفتی بررسی شد [۱۰].

در پژوهشی دیگر با استفاده از مدل هیدرودینامیکی دوی بعدی جریان‌های جزرومدمی در خلیج فارس مدل شد. نتایج بررسی نشان داد که تنگه هرمز دارای پتانسیل انرژی جزرومدم بالای در مقایسه با دیگر مناطق خلیج فارس است [۱۱].

در پژوهشی از مدل عددی هیدرودینامیکی دوی بعدی TELEMAC-2D برای تخمین منابع انرژی جزرومدمی در پورتلند بیل انگلستان استفاده شد و با استفاده از داده‌های اندازه‌گیری ارتفاع موج و مؤلفه‌های جزرومدمی، سرعت جریان‌های جزرومدمی در سرتاسر منطقه موردمطالعه مدل‌سازی شد. نتایج این مدل برای تولید یک سری زمانی از سرعت جریان جزرومدمی در طول دوره شبیه‌سازی استفاده شد که برای تعیین مکان‌های قرار گیری قرارگیری سورینهای جزرومدمی مورداداستفاده قرار می‌گیرد [۱۲]. در پژوهش دیگری به مطالعه تأثیر امواج بر منابع انرژی جزرومدم در یک آرایه جریان پرداخته شد. در این مطالعه با بررسی تأثیر متقابل موج-جریان^۲ بر منابع جزرومدمی، موج غالب منطقه بررسی شد. نتایج نشان داد که اثر ترکیبی تنفس تشبعی موج و افزایش ضربی اصطکاک بستر به ترتیب می‌تواند تا ۲۰٪ و ۱۵٪ شدت موج شدید و متوسط زمستانی را کاهش دهد. همچنین نشان داده شد که جریان‌های تولیدشده با باد ناشی از تنفس برشی آن می‌توانند توزیع این اثر را تغییر دهند [۱۳]. در تحقیقی مدل‌سازی عددی در TELEMAC-3D برای مناطق کنترل سیل با ساختارهای شناخته و کنترل شده در کنار رودخانه شلت و منطقه ساحلی را برای رویداد طوفان ۶ دسامبر ۲۰۱۶ انجام شد؛ که این تحقیق، شامل اجرای یک تابع زیرگذر جدید در مدل سه‌بعدی هیدرودینامیکی TELEMAC-3D و بررسی عملکرد آن در هر دو حالت

شرکت^۳ EDF فرانسه توسعه یافته است. تمام ماثولهای مختلف TELEMAC از الگوریتم ظرفیت بالا براساس مشبندی فضایی به صورت یک شبکه غیرمنظم از عناصر TELEMAC-2D است. ماثول استفاده شده در این مطالعه-TELEMAC-2D است. این ماثول می‌تواند اصطکاک، تأثیر نیروی کوریولیس، آشفتگی، انتشار امواج بلند (با در نظر گرفتن اثرات غیر خطی)، تأثیر دمای افقی و گرادیان شوری در چگالی و ... را در محاسبات خود به کار گیرد [۲۰]. همچنین این ماثول امکان مطالعه مناطق ساحلی، رودخانه‌ای و استوایی را فراهم می‌کند. کد TELEMAC-2D معادله‌های دیفرانسیل جزئی درجه دوم را برای عمق متوسط جریان سیال، مشتق شده از معادله‌های سه بعدی ناویر استوکس حل می‌کند که معادله‌های سنت-وانات^۴ نامیده می‌شوند [۲۱-۲۲].

۳-۲. داده‌های مورداستفاده

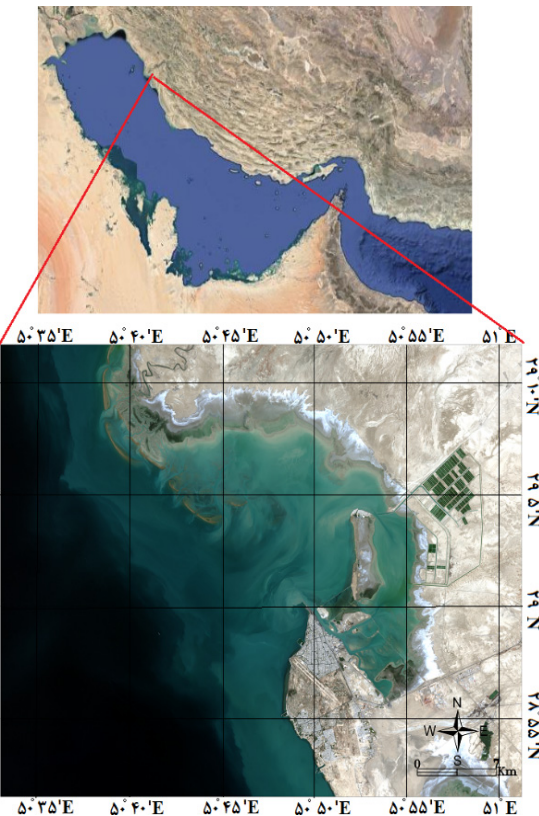
در محاسبات TELEMAC-2D فایل‌هایی به عنوان ورودی مدل در نظر گرفته می‌شوند. این فایل‌ها شامل هیدروگرافی بستر و داده‌های جزرومدی روی نقاط مرزی هستند. هیدروگرافی بستر که از جمله داده‌های ورودی مهم و موردنیاز برای مدل‌های هیدرودینامیکی از جمله مدل مورداستفاده است، برای منطقه مورد مطالعه با سامانه مختصات جهانی مرکاتور معکوس^۵ از سازمان بنادر و دریانوردی با دقیق ۱:۲۰۰۰ درون کanal و ۱:۵۰۰ در سایر مناطق برای افزایش دقیق نتیجه مدل در محدوده مدل محلی، گرفته شد. برای اعمال داده‌های جزرومدی به مرزهای باز در مدل، چهار پایگاه داده جزرومدی JMJ، TPXO، NEA و PREVIMER atlases با مدل استفاده شده، معرفی شد که با توجه به منطقه مورد مطالعه داده‌های جزر و مدی برای نقاط مرزی از پایگاه TPXO که از سوی دانشگاه ایالت ارگان^۶ برای دستیابی به داده‌های جزرومدی توسعه یافته است، دریافت شد. دقیق این پایگاه برای خلیج فارس $1/60^{\circ}$ است. استخراج داده‌های پایگاه TPXO در یک نقطه خاص، ثابت در مکان و متغیر در زمان انجام می‌شود.

خلیج بوشهر استفاده شد. برای واسنجی، نتایج به دست آمده با داده‌های میدانی اخذ شد از سازمان بنادر و دریانوردی مورد مقایسه قرار داده شد [۱۷].

۲. مواد و روش‌ها

۲-۱. منطقه مورد مطالعه

در این تحقیق خلیج بوشهر که بندر مهم تجاری بوشهر در آن واقع شده است، برای بررسی‌های عددی مورد مطالعه قرار داده شد (شکل ۱). این بندر با یک کانال کشتیرانی که به دو بخش داخلی و خارجی تقسیم می‌شود، به خلیج فارس متصل شده است. بندر بوشهر به عنوان یکی از مناطق ویژه در پژوهش پایش و مطالعات شبیه‌سازی بخش‌هایی از سواحل استان بوشهر مورد توجه قرار گرفته است [۱۸-۱۹].



شکل ۱: موقعیت جغرافیایی خلیج بوشهر

۲-۲. مدل عددی TELEMAC

مدل عددی هیدرودینامیکی به کار برده شده در پژوهش پیش رو TELEMAC است. یک مجموعه نرم افزار محاسباتی با قابلیت دسترسی آزاد است که توسط

مُؤلفه‌های سرعت افقی U و V به صورت زیر در زمان t فرض می‌شود:

$$F(M, t) = \sum_i F_i(M, t) \quad (5)$$

$$F_i(M, t) = A_{F_i}(M) \cos\left(2\pi \frac{t}{T_i} - \varphi_{F_i}(M)\right) \quad (6)$$

برای جزرومود طبیعی:

$$F_i(M, t) = f_i(t) A_{F_i}(M) \quad (7)$$

$$\cos\left(2\pi \frac{t}{T_i} - \varphi_{F_i}(M) + u_i^0 + v_i(t)\right)$$

در اینجا مقدار F نشان‌دهنده ارتفاع آب h یا یکی از مُؤلفه‌های سرعت افقی U یا V است که نشان‌دهنده موج موردنظر است، T_i نشان‌دهنده دوره موج است، A_{F_i} نشان‌دهنده دامنه ارتفاع یا اجزای سرعت افقی موج است، $f_i(t)$ فاکتور فیزیکی F_i و $v_i(t)$ نشان‌دهنده عوامل گره است و u_i^0 فاز را در مبدأ زمان برای شبیه‌سازی نشان می‌دهد.

ارتفاع و سرعت هر موج در نظر گرفته شده، سپس به منظور به دست آوردن ارتفاع و سرعت آب به عنوان شرایط مرزی دامنه به دست می‌آید:

$$h = \sum_i h_i - z_f + z_{moy} \quad (8)$$

$$U = \sum_i U_i \quad (9)$$

$$V = \sum_i V_i \quad (10)$$

ضرایب A_{F_i} و F_i با توجه به زمان ثابت هستند و تنها به موقعیت نقطه M بستگی دارد. این مقادیر که کمیت آن‌ها بسیار مهم است، به طور گسترده‌ای برای مدل‌سازی استفاده می‌شود و پایگاه‌های ثابت هارمونیک برای مناطق مختلف وجود دارد [۲۸].

در شبیه‌سازی با ماثول TPXO رابطه به صورت رابطه (۷) است [۲۹].

$$F_i(M, t) = f_i(t) Re \left(A_{F_j}(M) \exp \left(i \left(2\pi \frac{t}{T_i} + \varphi_{F_j}(M) + u_j^0 + v_j(t) \right) \right) \right) \quad (11)$$

۳. تئوری و محاسبات

معادله‌ها در چگالی ثابت با یکپارچه‌سازی از بستر به سطح به طور عمومی میانگین گیری می‌شوند. فرم میانگین معادله پیوستگی و اندازه جهت در راستای x و y به ترتیب عبارت است از:

$$\frac{\partial h}{\partial t} + \frac{\partial(hu)}{\partial x} + \frac{\partial(hv)}{\partial y} = 0 \quad (1)$$

$$\begin{aligned} \frac{\partial(hu)}{\partial t} + \frac{\partial(hUU)}{\partial x} + \frac{\partial(hUV)}{\partial y} \\ = -gh \frac{\partial z}{\partial x} + \frac{\partial}{\partial x} \left[hv_e \frac{\partial U}{\partial x} \right] + \frac{\partial}{\partial y} \left[hv_e \frac{\partial U}{\partial y} \right] + hF_x \end{aligned} \quad (2)$$

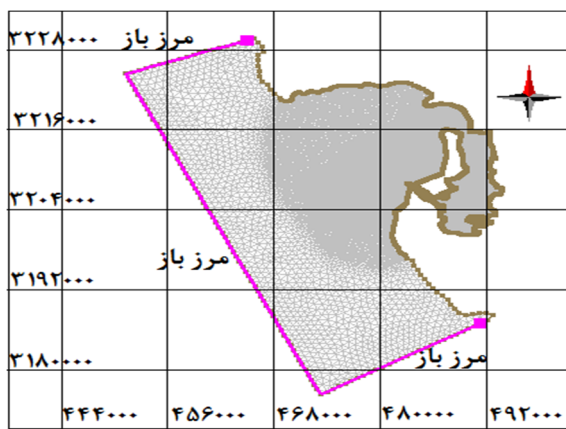
$$\begin{aligned} \frac{\partial(hv)}{\partial t} + \frac{\partial(hVV)}{\partial y} + \frac{\partial(hUV)}{\partial x} \\ = -gh \frac{\partial z}{\partial y} + \frac{\partial}{\partial x} \left[hv_e \frac{\partial V}{\partial x} \right] + \frac{\partial}{\partial y} \left[hv_e \frac{\partial V}{\partial y} \right] + hF_y \end{aligned} \quad (3)$$

عمق آب (h)، u و v مُؤلفه‌های دوبعدی سرعت (m/s) و g شتاب گرانشی (m/s^2)، v_e ضریب انتشار تکانه (m/s^2)، t زمان (s)، x و y مُؤلفه‌های افقی مکان در دستگاه دکارتی (m) و F_x و F_y عبارت چشمی و چاه در معادله‌های دینامیکی است که می‌توانند نیروی باد، کوریولیس، اصطکاک بستر یا هر پروسه دیگری که به اعمال نیروی خارجی به مدل منجر شود، تعریف کرد. اصطکاک بستر به عنوانتابع درجه دوم سرعت نشان داده می‌شود، تنش $\vec{U} = (U, V)$ که C_f بستر را مُؤلفه دوبعدی سرعت است. ضریب اصطکاک (C_f) بستر را می‌توان به عنوان پارامتری در معادله استریکلر محاسبه نمود.

$$C_f = \frac{2g}{S^2 h^{\frac{1}{3}}} \quad (4)$$

ضریب استریکلر است [۲۳]. از جمله روش‌های مرسوم و متداول تجزیه و تحلیل جزرومودی، روش آنالیز هارمونیک است که نوسانات جزرومودی را به مجموعه‌ای متناهی از مُؤلفه‌های هارمونیکی که سرعت زاویه‌ای و فاز آن‌ها از استدلال نجومی تعیین می‌شود، نسبت می‌دهد. در مطالعه حاضر، تراز آب و مُؤلفه‌های سرعت جزرومود به صورت یک تابع هارمونیک در نظر گرفته شده است [۲۴-۲۷]. تابع هارمونیک‌های اصلی تراز آب در مکانی M به عمق h و

خلیج بوشهر، سه مرز باز با سطح تراز (h) و مؤلفه‌های سرعت جریان (u,v) در نظر گرفته شد که شامل مرز شمال غربی، جنوب شرقی و جنوب غربی است (شکل ۳). مدل‌سازی سرعت جریان جزو رمدمطالعه این سطح تراز از تاریخ ۲۰۱۱/۰۷/۱۲ تا ۲۰۱۱/۰۸/۱۰ به دلیل دسترسی به داده‌های اندازه‌گیری در این بازه زمانی با استفاده از نرم‌افزار TELEMAC انجام شد. جهت کالیبراسیون مدل، داده‌های اندازه‌گیری سرعت جریان در منطقه موردمطالعه در طول جغرافیایی ۴۸۰۸۲۰ و عرض جغرافیایی ۳۲۱۰۱۷۸ از پایگاه داده مشخصه‌های دریایی دریافت شد.



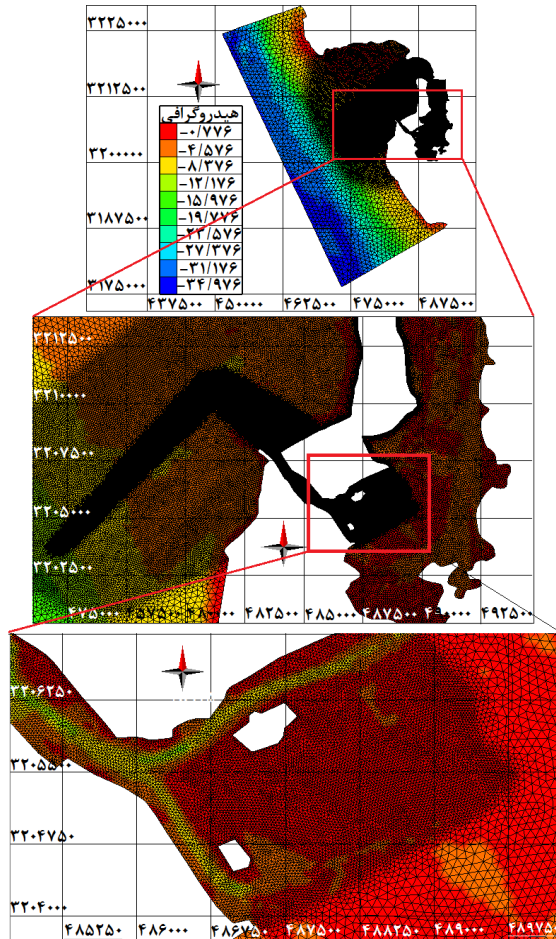
شکل ۳: مرزهای باز با h, v, u در مدل (سامانه مختصات جهانی مرکاتور معکوس)

برای کالیبراسیون اندازه سرعت جریان چهار ضریب، محدوده جزو رمدمطالعه، محدوده سرعت جریان^۸، تراز آب^۹ و اصطکاک^{۱۰} مورد بررسی قرار گرفت. در محدوده ضرایب توصیه شده به شیوه آزمون و خطا با اجرا گرفتن مکرر مدل و مقایسه نتایج سری زمانی خروجی‌های هر ضریب کالیبره با مقادیر اندازه‌گیری انتخاب شدند که در جدول ۱ به برخی از تغییرات ضرایب انتخاب شده جهت کالیبراسیون اشاره شده است. برای بررسی دقیق‌تر میزان درستی داده‌های محاسبه شده با مدل نسبت به داده‌های اندازه‌گیری به عبارتی صحبت‌سنگی مدل از محاسبه پارامترهای آماری چون RMSE^{۱۱} و ضریب همبستگی پیرسون^{۱۲} در طول جغرافیایی ۴۸۰۸۲۰ و عرض جغرافیایی ۳۲۱۰۱۷۸ استفاده شد. مقادیر نزدیک به صفر برای RMSE نشان‌دهنده دقت بیشتر مدل و درنتیجه کمتر بودن خطای مدل است. ضریب همبستگی بین ۱ و ۱- تغییر می‌کند

۴. یافته‌ها

برای مدل‌سازی جزو رمدمطالعه، اعمال اطلاعات هندسه و عمق به مدل امری ضروری است در این راستا شبکه‌بندی بهینه با استفاده از حساسیت تراکم شبکه، برای کل منطقه با نسبت یک‌به‌سه، از کوچک‌ترین شبکه‌بندی ۳۰ متر تا ۸۱۰ متر انتخاب شد. مقیاس این شبکه با نزدیک شدن به مرز دریایی برای کاهش زمان محاسبات بزرگ‌تر در نظر گرفته شد. هیدرولوگرافی بستر با درون‌یابی خطی به شبکه‌بندی بارگذاری شد. شبکه‌بندی نهایی مورداستفاده به صورت المان‌های غیرمنظم مثلثاتی شامل

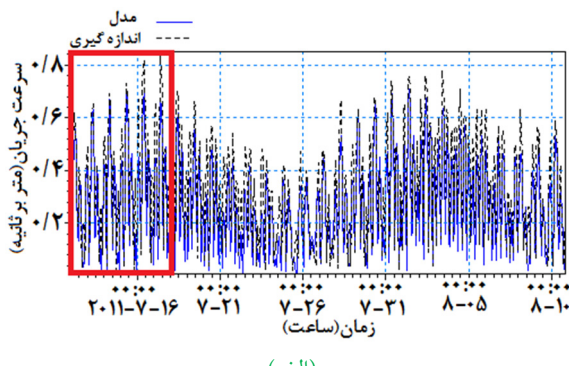
۱۴۶۷۶۲ المان و ۷۴۶۹۸ گره است (شکل ۲).



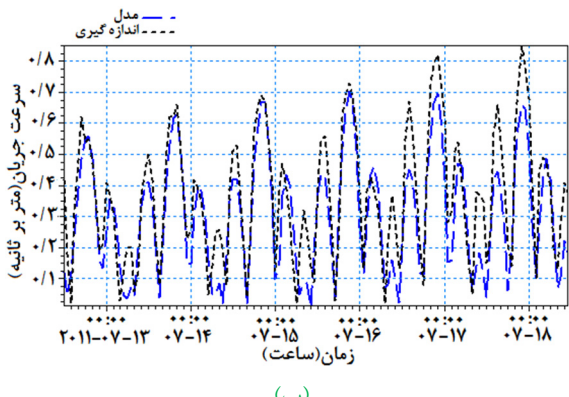
شکل ۲: بزرگ‌نمایی شبکه‌بندی و توپوگرافی محدوده موردمطالعه بر اساس سامانه مختصات جهانی مرکاتور معکوس

اعمال داده‌های جزو رمدمطالعه به مدل مستلزم شرایط مرزی مناسب است. تعریف شرایط مرزی و ویژگی‌های فیزیکی آن‌ها در طول تولید مش ایجاد شده است. در مدل منطقه‌ای

گام زمانی با توجه به زمان محاسبه‌های بهینه و عدد کورانت (کوچک‌تر از یک) برای پایداری و دقت مدل، ۳۰ ثانیه انتخاب شده است. با بررسی جدول ۱ ضرایب کالیبراسیون مدل شامل ضریب سطح تراز، محدوده جزرومده، محدوده سرعت جریان و اصطکاک به ترتیب $1/13\text{ m}$, 0.98 m , $1/10\text{ m/s}$ و $50\text{ m}^{1/2}\text{s}^{-1}$ در نظر گرفته شد. همچنین نشان داده شد اندازه سرعت جریان به ضریب حدود سرعت جریان حساسیت زیادی ندارد ولی به سایر ضرایب حساسیت نشان داد. از جمله تنظیمات دیگر در نظر گرفته شده، صرف نظر از نیروی کوریولیس با توجه به وسعت منطقه مورد مطالعه است. در شکل ۴ مقایسه سری زمانی خروجی سرعت جریان حاصل از مدل و داده‌های اندازه‌گیری تناظر به همراه بزرگنمایی برای ۶ روز جهت وضوح بیشتر نشان داده شد.



(الف)



(ب)

شکل ۴: مقایسه نوسانات اندازه سرعت جریان مدل با ضرایب کالیبره نهایی و مقادیر متانظر اندازه‌گیری (الف) به همراه بزرگنمایی برای ۶ روز (ب) در خلیج بوشهر

شکل ۵ نمودار سری زمانی سرعت جریان حاصل از مدل عددی TELEMAC، پایگاه پیش‌بینی جهانی TPXO و داده‌های اندازه‌گیری متانظر به همراه بزرگنمایی تصویر برای ۶ روز را نشان می‌دهد.

و به ازای مقدار صفر میان مدل و اندازه گیری هیچ همبستگی وجود ندارد، در حالی که هر چه مقدار به یک نزدیک‌تر باشد، نشان‌دهنده همبستگی بیشتر است و اعداد منفی همبستگی معکوس را نشان می‌دهند [۳۰-۳۱]. پارامترهای آماری سناریوهای مختلف کالیبراسیون ضرایب در جدول ۲ آورده شده است.

$$RMSE = \sqrt{\frac{1}{N} \sum_{i=1}^n (x_i - y_i)^2} \quad (12)$$

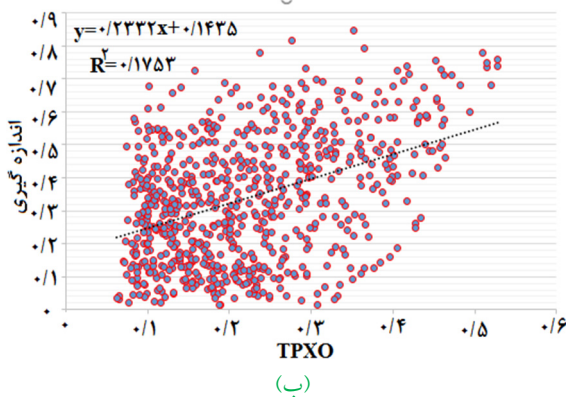
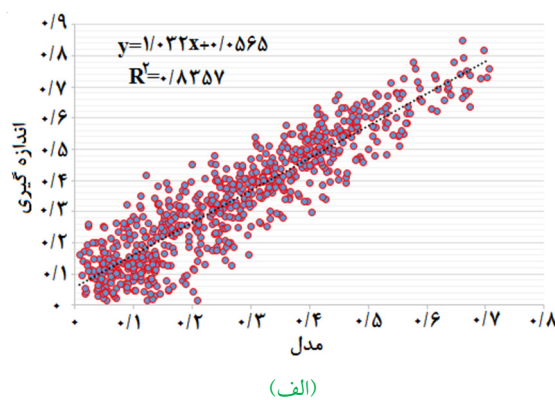
$$CC = \frac{\sum_{i=1}^n (x_i - \bar{x})(y_i - \bar{y})}{\sqrt{\sum_{i=1}^n (x_i - \bar{x})^2} \sqrt{\sum_{i=1}^n (y_i - \bar{y})^2}} \quad (13)$$

جدول ۱: سناریوهای مختلف برای کالیبراسیون مدل برای مدل‌سازی اندازه سرعت جریان در خلیج بوشهر

عنوان ضرایب سناریو	سطح تراز	محدوده جزرومده	محدوده سرعت جریان	اصطکاک
سطح تراز	۱	۰/۸	۰/۹۸	۵۰
	۲	۱/۱۳	۰/۹۸	۵۰
	۳	۱/۸	۰/۹۸	۵۰
محدوده جزرومده	۴	۱/۱۳	۰/۷	۵۰
	۵	۱/۱۳	۰/۹۸	۵۰
	۶	۱/۱۳	۱/۴	۵۰
محدوده سرعت جریان	۷	۱/۱۳	۰/۹۸	۵۰
	۸	۱/۱۳	۰/۹۸	۵۰
	۹	۱/۱۳	۰/۹۸	۵۰
اصطکاک	۱۰	۱/۱۳	۰/۹۸	۴۰
	۱۱	۱/۱۳	۰/۹۸	۵۰
	۱۲	۱/۱۳	۰/۹۸	۶۰

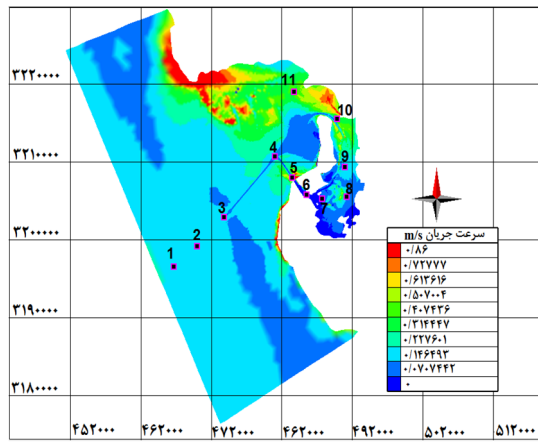
جدول ۲: پارامترهای آماری سناریوهای مختلف موجود در جدول ۱

سناریو	RMSE	CC
۱	۰/۷۸۵	۰/۸۹۶۷
۲	۰/۰۶۲۸	۰/۹۱۴۱
۳	۰/۱۰۴۵	۰/۸۹۵۸
۴	۰/۱۱۸۵	۰/۸۹۵۰
۵	۰/۰۶۲۸	۰/۹۱۴۱
۶	۰/۰۵۸	۰/۸۸۳۹
۷	۰/۰۷۹۹	۰/۸۹۸۷
۸	۰/۰۶۲۸	۰/۹۱۴۱
۹	۰/۰۷۸۵	۰/۸۹۷۴
۱۰	۰/۰۸۶۲	۰/۹۰۵۲
۱۱	۰/۰۶۲۸	۰/۹۱۴۱
۱۲	۰/۰۷۴۸	۰/۹۰۳۷



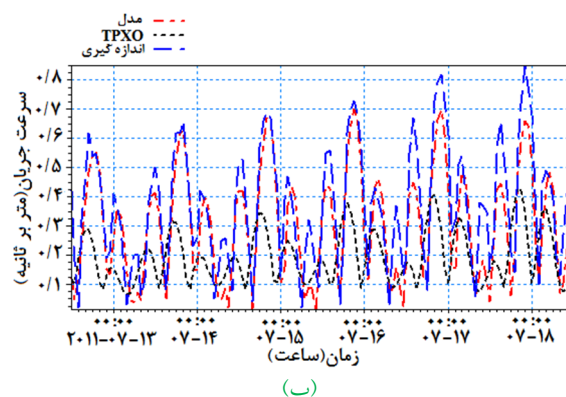
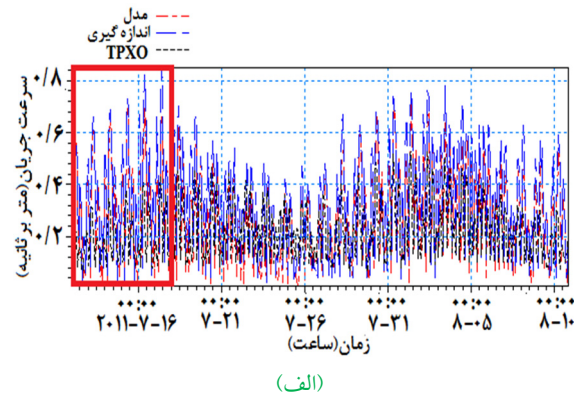
شکل ۶: همبستگی داده‌های سرعت جریان اندازه‌گیری با مدل (الف) و پایگاه TPXO (ب)

در ادامه برای بررسی جهت غالب جریان در خلیج بوشهر، کل جریان یازده نقطه در مناطق مختلف منطقه رسم شد. نقاط این مناطق در شکل ۷ نشان داده شده است.



شکل ۷: نقاط رسم گل جریان در خلیج بوشهر

جهت جریان غالب خارج کanal، شمال غربی است با بیشینه سرعت 0.62 m/s که با ورود به داخل کanal خارجی جهت غالب جنوب غربی با بیشینه سرعت 0.61 m/s و با وارد شدن به کanal داخلی شمال غربی با بیشینه سرعت 0.44 m/s جهت



شکل ۵: مقایسه نوسانات سرعت جریان مدل، TPXO و مقادیر متناظر اندازه‌گیری (الف) به همراه بزرگنمایی برای ۶ روز (ب)

جدول ۳ مقایسه پارامترهای آماری بین سرعت جریان حاصل از مدل، پایگاه جهانی TPXO و داده‌های اندازه‌گیری را نشان می‌دهد.

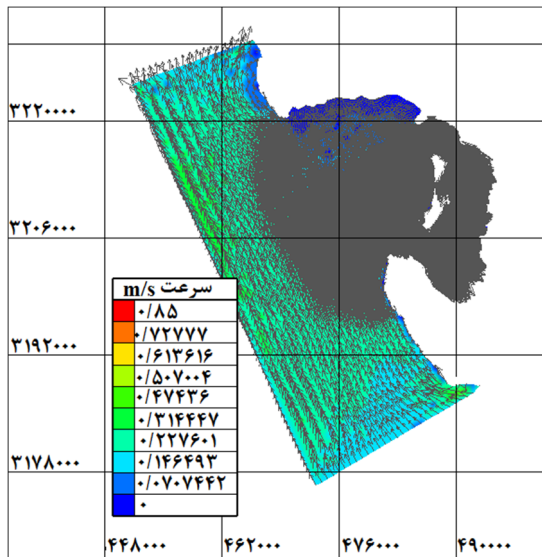
جدول ۳: پارامترهای آماری RMSE و CC سرعت جریان مدل و پایگاه TPXO

	RMSE	CC
مدل	۰/۰۶۲۸	۰/۹۱۴۱
TPXO	۰/۱۳۲۰	۰/۴۱۸۶

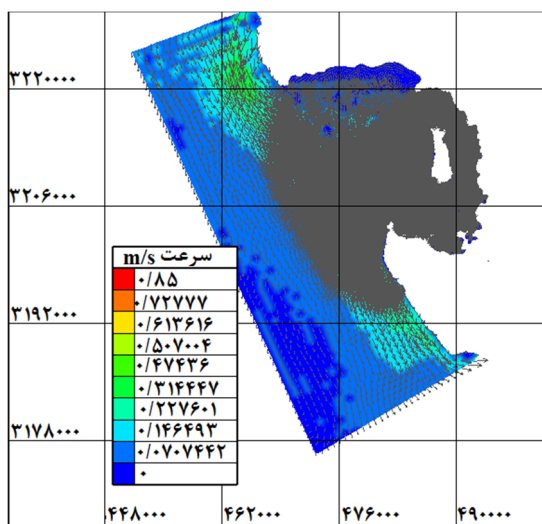
شکل ۶ همبستگی بین داده‌های اندازه‌گیری با مدل و پایگاه جهانی TPXO را نشان می‌دهد.

با توجه به جدول ۳، شکل ۵ و ۶ نشان داده شد سرعت جریان حاصل از خروجی مدل نسبت به پیش‌بینی پایگاه جهانی TPXO هم خوانی بیشتری با داده‌های اندازه‌گیری متناظر در خلیج بوشهر دارد.

شکل ۹ و ۱۰ الگوی جریان در زمان وقوع جزرومدم در محدوده مدل منطقه‌ای را نشان می‌دهد.



شکل ۹: الگوی جریان در حین رخدان جزر در محدوده مدل منطقه‌ای



شکل ۱۰: الگوی جریان در حین رخدان مد در محدوده مدل منطقه‌ای

در هنگام مد جریان‌های جزرومدمی از شمال شرقی به جنوب غربی وارد خلیج بوشهر می‌شوند و در هنگام جزر از جنوب شرقی به شمال شرقی از منطقه خارج می‌شوند.

غالب می‌شود. پشت جزایر جریان به صورت گردشی با حداقل سرعت 0.072 m/s است و جهت جریان غالب در جلوی جزیره جنوب غربی با بیشینه سرعت 0.148 m/s است.

جدول ۴: جهت غالب و بیشینه سرعت در نقاط انتخابی در خلیج بوشهر

شماره نقطه	جهت غالب	بیشینه سرعت (متر بر ثانیه)
۱	شمال غربی	۰.۱۶۲
۲	شمال غربی	۰.۱۶
۳	شمال غربی	۰.۱۴۶
۴	جنوب غربی	۰.۱۶۱
۵	شمال غربی	۱/۱۲
۶	شمال غربی	۱/۱۴۴
۷	شمال غربی	۰.۱۳۵
۸	جنوب غربی	۰.۱۱۶
۹	جنوب غربی	۰.۱۲
۱۰	شمال شرقی	۰.۱۷۲
۱۱	جنوب غربی	۰.۱۴۸

با توجه به جدول ۴ بیشینه سرعت جریان مربوط به نقاط واقع شده درون کanal داخلی با مقادیر $1/12$ و $1/144 \text{ m/s}$ است.

شکل ۸ جهت جریان را در یازده نقطه مورد بررسی روی تصویر ماهواره‌ای ستینل-۲^{۱۳} خلیج بوشهر برای یک ماه از تاریخ ۲۰۱۱/۰۷/۱۲ نشان می‌دهد. جریان از شمال غربی وارد کanal خارجی و وارد کanal داخلی می‌شود، به دور جزایر به صورت گردشی می‌چرخد، سپس خارج می‌شود. همچنین این جریانات رفت و برگشتی هستند و در نزدیکی ساحل موازی با ساحل هستند.



شکل ۸: جهت جریان در خلیج بوشهر

۶. نتیجه‌گیری

به طور کلی در پژوهش پیش‌رو به مدل‌سازی سرعت جریان جزرومدمی با استفاده از ماثول دو بعدی نرم‌افزار TELEMAC ۲D پرداخته شد.

- for sea water level prediction. *Applied Ocean Research*. 2018 Jan;170:14-21.
- [۴] موسیزاد حکیمه. بررسی جریانات باقیمانده جزو مردمی در خلیج چابهار و خلیج پزم با استفاده از مدل‌سازی عددی [پایان‌نامه کارشناسی ارشد]. مازندران: دانشکده علوم دریایی و اقیانوسی، دانشگاه مازندران؛ ۱۳۹۵.
- [۵] رشیدی ابراهیم حصاری اکبر، حسینی سید مرضیه. ارزیابی حساسیت دینامیک کشنند نیمروزانه M_2 به تغییرات مکانی ناهمواری بستری در تنگه هرمز. *هیدروفیزیک*. ۱۳۹۶؛(۱):۲۱-۳۲.
- [۶] آزموده اردلان علیرضا، طوریان محمدجواد. مدل‌سازی جزو مردم در دریای عمان و خلیج فارس با استفاده از داده‌های ارتفاع سنجی ماهواره‌ای و تایید گیج‌های ساحلی. *فیزیک زمین و فضا*. ۱۳۹۸؛(۳):۱۵-۲۵.
- [۷] ربیعی فر حمیدرضا، باقری نرجس. مدل‌سازی تغییرات جزو مردم (با مطالعه موردی در بندر شهید رجایی). دومین کنفرانس بین‌المللی رویکردهای نوین در نگهداری انرژی؛ ۱۳۹۱؛ منطقه ویژه اقتصاد انرژی پارس جنوبی، تهران، ایران.
- [۸] خانیکی علی، بخشندۀ فیروزه، کامران لاری. بررسی تأثیر جزو مردم بر الگوی جریان و انتقال رسوب در مصبها با استفاده از شبیه‌عددی مایک ۲۱. مهندسی منابع آب. ۱۳۹۳؛(۲۱):۱-۱۱.
- [۹] جوکار محمد، لاری کامران. بررسی جریان‌های کشنده با استفاده از مدل مایک ۲۱ و اندازه‌گیری‌های میدانی و مدل جهانی FES در خلیج فارس. اطلاعات جغرافیایی. ۱۳۹۵؛(۲۵):۹۷-۱۱۰.
- [10] Reissosadat SM. Numerical study of water circulation in Persian Gulf using finite difference method. *Research in Marine Science*. 2018 Jun 1;3(2):303-10.
- [11] Aghajanloo K, Pirooz MD, Namin MM. Numerical simulation of tidal currents in Persian Gulf. Proceeding of International Conference on Civil, Environmental and Chemical Engineering; 2011 Oct 27.
- نتایج کالیبراسیون مدل نشان‌دهنده حساسیت بالای مدل جهت مدل‌سازی سرعت جریان به مقیاس شبکه‌بندی و ضرایب محدوده جزو مردمی، تراز آب، محدوده سرعت جریان و اصطکاک در خلیج بوشهر بود.
- جریانات جزو مردمی شبیه‌سازی شده از مازول دو بعدی TELEMAC، همگرایی قابل قبولی با نتایج حاصل از برداشت‌های میدانی داشتند که نشان‌دهنده انتخاب مناسب مقادیر برای ضرایب کالیبراسیون در این مدل بود.
- خطای RMSE و همبستگی بین داده‌های میدانی سرعت جریان و پایگاه پیش‌بینی جهانی TPXO به ترتیب ۱۳ و ۴۱ درصد محاسبه شد. پس از انجام مدل‌سازی خطای RMSE ۷ درصد کاهش و همبستگی ۵۰ درصد افزایش پیدا کرد که نشان‌دهنده مدل‌سازی دقیق مدل یا ورودی دارای درصد خطای اختلاف زیاد بود.
- جریان‌های غالب جزو مردمی در خلیج بوشهر از سمت شمال غرب وارد کانال خارجی و داخلی می‌شوند که بیشینه اندازه سرعت آن درون کانال داخلی مقدار $1/44 \text{ m/s}$ است.
- جریان‌های جزو مردمی رفت و برگشتی، نزدیک ساحل موازی ساحل و در نقاط دور از ساحل بیضوی گردشی است که قطر اصلی آن موازی ساحل است.
- در منطقه خلیج بوشهر که در خلیج فارس واقع شده است در هنگام مد جریان‌های جزو مردمی از شمال شرقی به جنوب غربی وارد منطقه می‌شوند، زمان جزر از جنوب شرقی به شمال شرقی از منطقه خارج می‌شوند.

مراجع

- [1] Lefebvre M, Stewart R. History of Altimetry, 1960-1992. Proceedings of the Symposium on 15 Years of Progress in Radar Altimetry. Noordwijk, Netherlands: European Space Agency; 2006. (Vol. 614).
- [2] Ardalan AA, Toorian MJ. A new tidal model for the Persian Gulf and Oman Sea based on satellite altimetry and coastal tidal gauge observations. *Journal of the Earth and Space Physics*. 2010;36(3):15-25.
- [3] El-Diasty M, Al-Harbi S, Pagiatakis S. Hybrid harmonic analysis and wavelet network model

[۲۴] اکبری نسب محمد، کتابداری محمدجواد. مدل عددی جهت تعیین رژیم و توان جزرومدم. علوم کاربردی و محاسباتی در مکانیک. ۱۳۹۸؛۲۱(۲):۲۱-۳۰.

[۲۵] جزیریان ایرج، شریفی عادل. کاهش اثرات غیر جزرومدمی با استفاده از آسالیز اختلاف ارتفاع نقاط هم جوار مشاهدات ارتفاع سنجی ماهواره‌ای در منطقه خلیج فارس. مهندسی نقشه‌برداری و اطلاعات مکانی. ۱۳۹۵؛۷۶(۲):۱-۸.

[26] Dronkers JJ. Tidal computations in rivers and coastal waters. Amsterdam, New York: North-Holland Pub. Co;1996.

[27] Godin G. The analysis of tides. Liverpool (UK): Liverpool University Press;1972.

[28] Pham CT, Lyard F. Use of tidal harmonic constants databases to force open boundary conditions in TELEMAC. Proceedings of the XIXth TELEMAC-MASCARET User Conference; 2012 Oct 18-19. Oxford: St Hugh's College; 2012. p.165-72.

[29] Pham CT, Bourban S, Durand N, Turnbull M. Methodology to model tides with version 6.2 of TELEMAC-2D and TELEMAC-3D. National Hydraulic and environment Laboratory;2013.

[30] Moriasi DN, Arnold JG, Van Liew MW, Bingner RL, Harmel RD, Veith TL. Model evaluation guidelines for systematic quantification of accuracy in watershed simulations. Transactions of the ASABE. 2007;50(3):885-900.

[31] Boyle DP, Gupta HV, Sorooshian S. Toward improved calibration of hydrologic models: Combining the strengths of manual and automatic methods. Water Resources Research. 2000 Dec;36(12):3663-74.

بی‌نوشت

1. Topex-Poseidon
2. wave-current interaction
3. Electricité de France
4. Barre de Saint-Venant
5. Universal Transverse Mercator (UTM)
6. Oregon State University
7. Tidal range
8. Velocity range
9. Sea level
10. friction
11. Root Mean Square Error
12. Correlation Coefficient
13. Sentinel-2

[12] Blunden LS, Bahaj AS. Initial evaluation of tidal stream energy resources at Portland Bill, UK. Renewable Energy. 2006 Feb 1;31(2):121-32.

[13] Hashemi MR, Neill SP, Robins PE, Davies AG, Lewis MJ. Effect of waves on the tidal energy resource at a planned tidal stream array. Renewable Energy. 2015 Mar 1;75:626-39.

[14] Teles MJ, Smolders S, Maximova T, Rocabado I, Vanlede J. Numerical modelling of flood control areas with controlled reduced tide. E-proceedings of the 36th IAHR World Congress; 2015 Jun. (Vol. 28)

[15] Moloney V, Karunaratna H, Murray T, Rutt I, Everett A, Reeve D. Investigation of wind and tidal forcing on stratified flows in Greenland fjords with TELEMAC-3D. European Journal of Computational Mechanics. 2016 May 3;25(3):249-72.

[16] Haverson D, Bacon J, Smith HC, Venugopal V, Xiao Q. Cumulative impact assessment of tidal stream energy extraction in the Irish Sea. Ocean Engineering. 2017 Jun 1;137:417-28.

[۱۷] اداره بنادر و دریانوری کل استان بوشهر [اینترنت]. ۲۰۱۱ قابل دسترس در: <https://bushehrport.pmo.ir>

[۱۸] بختیاری آرش، کمیجانی فرشته، الهیار محمدرضاء، توکلی محمود. بررسی مدل ایرانی PMO Dynamic در خلیج بوشهر. اقیانوس‌شناسی. ۱۳۹۲؛۴۶(۱۴):۱۳-۱۸.

[۱۹] فرجامی حسین، حسینی سید طالب، چگینی وحید، محمدی سیده سعیده. شبیه‌سازی امواج ناشی از باد در خلیج بوشهر با مدل عددی سوان. اقیانوس‌شناسی. ۱۳۹۰؛۲۶(۸):۷۹-۸۷.

[20] TELEMAC-2D Software. Version 5.2, User Manual. EDF-R&D;2002.

[21] Open TELEMAC-MASCARET. Available from:<http://www.openTELEMAC.org/>

[22] Batica J, Gourbesville P, Erlich M, Coulet C, Mejean A. Xynthia Flood, Learning from the Past Events—Introducing a FRI to Stakeholders. In: Gourbesville P, Cunge J, Caigaert G, editors. Advances in Hydroinformatics. Springer Water. Singapore:Springer;2018. p.607-19.

[23] Nolivos Alvarez I, Choudhur A, Manbalu J. N 2D hydrodynamic modelling of a tidal inlet using TELEMAC. Case study of “De IJzermonding [dissertation].2009.